文章编号: 1001-3555(2015)02-0143-09

# 制备条件对 Cu-MnO, 低温液相甲醇合成性能影响

杨 光1,2,陈 勇3,李臣芝1,2,陈彤1\*,王公应1 (1. 中国科学院成都有机化学研究所,四川 成都 610041; 2. 中国科学院大学,北京 100049;

3. 后勤工程学院 国防建筑规划与环境工程系, 重庆 401311)

摘要:采用并流共沉淀法制备 Cu-MnO<sub>x</sub> 催化剂,用于合成气 CO/CO<sub>2</sub>/H<sub>2</sub> 为原料的低温液相甲醇合成.研究了制 备条件对 Cu-MnOx 结构及催化性能的影响, XRD、H2-TPR、CO-TPD 表征显示, 制备过程中的沉淀 pH、煅烧温度 等影响 Cu-MnOz 中 CuO 的分散性 、还原性能和对 CO 的吸附能力.沉淀 pH 为 7 、煅烧温度 450 ℃制备的铜锰摩尔 比为1:1的Cu-MnO。铜锰相互作用强,CuO分散好,形成的Cu<sub>1</sub>,Mn<sub>1</sub>,O<sub>4</sub>晶相利于中间产物甲酸酯的生成,并且 其对 CO 的吸附能力强, H, 还原温度适中, 利于在预还原条件下生成较多 Cu<sup>+</sup>, 因此, 表现出最好的催化性能. 在 170 °C、5 MPa 反应条件下,以 K,CO、为助剂、乙醇为溶剂,碳转率为71.8%,甲醇选择性55.9%,同时生成了较 多的碳链增长产物, 说明 CO 在该催化剂上可发生解离吸附, 为乙醇等 C,,低碳醇的合成提供参考.

关键词: CO/CO<sub>2</sub>/H<sub>2</sub>; 低温液相; 甲醇; Cu-MnO<sub>x</sub>; K<sub>2</sub>CO<sub>3</sub>

中图分类号: 0643.32 文献标志码: A

甲醇是重要的化工原料,消费量居第4位,仅 次于乙烯、丙烯和苯, 也是潜在的车用燃料和燃料 电池燃料,有非常广泛的用途[1-2].目前工业合成 甲醇采用合成气为原料,在高温高压条件下进行反 应,受热力学限制 CO 单程转化率低于 20%. 合成 气制甲醇是强放热反应, 低温对甲醇合成有利, 可 大幅提高 CO 单程转化率<sup>[2]</sup>. 由于全球石油资源的 过度消耗及我国富煤贫油的现状,如何实现高效、 洁净的利用煤炭资源十分重要,引起高度关注.由 煤制合成气低温合成甲醇、低碳醇是煤炭资源高效 利用的典范, 也再度成为 C1 化学研究的热点.

低温液相甲醇合成工艺(LTMS)最早由美国布 鲁克海文国家实验室(BNL)提出[3], 反应以 CO/H, 为原料, NaH 为羰化催化剂、M(OAc), 为氢解催化 剂在相对温和(100~130 ℃、1.0~5.0 MPa)的条 件下进行甲醇合成,碳转化率高达90%,可以克服 工业甲醇生产中反应条件苛刻,单程碳转率低的问 题, 但 NaH 对 CO<sub>2</sub> 和 H<sub>2</sub>O 敏感易失活, 限制了它 的工业化应用. 目前, CO/H。为原料的低温液相甲 醇合成的研究主要采用铜基催化剂(Cu-Cr、Cu-Mg、 Cu-Zn 等)与碱金属羰化催化剂(CH<sub>3</sub>ONa、HCOONa 等)共同构成催化体系. Chu 等[4]以 Cu-CrO, 为氢

解催化剂, CH<sub>3</sub>ONa 为羰化催化剂在 110 ℃、5 MPa 下进行甲醇合成反应,碳转化率和甲醇选择性均超 过 90%, 但 CH<sub>3</sub>ONa 遇 H<sub>2</sub>O、CO, 极 易 失 活; HCOONa 作为羰化催化剂也具有较好的羰化活性, Baoshan Hu 等<sup>[5-8]</sup>研究了 Cu-MgO 与 HCOONa 构成 的催化体系下甲醇的合成性能,在 160 ℃、5 MPa 下碳转率达80%,甲醇选择性达90%,但羰化催化 剂 HCOONa 遇 CO<sub>2</sub> 会生成无活性的 NaOH, 因此, 仍需解决催化剂中羰化催化剂对 CO。中毒的问题. 近年来, Tsubaki 等[9-12] 开始研究铜系催化剂对 CO/CO<sub>2</sub>/H<sub>2</sub>为原料的低温液相甲醇合成性能,以 低碳醇为溶剂, HCOOK 等为促进剂, 发现在 150~ 170 ℃、3~5 MPa 条件下 Cu-ZnO 和 Cu-MgO 具有 较好的催化性能, 时空收率达 100 g/(mol·h); 对 机理的研究显示[11, 13-14], 提高 Cu 催化剂表面 CuO 的分散性和 Cu<sup>+</sup>/Cu<sup>0</sup> 比例, 可提高催化剂甲醇合成 性能; Shi 等[15-16] 也研究了 Cu-ZnO 的催化性能, 催 化剂采用溶胶凝胶法制备不经 H, 还原直接使用, 在 170 ℃、5 MPa 下碳转化率达 65.2%,催化剂加 氢活性较差,甲醇选择性低仅10.6%.孔秀琴 等[17] 将溶胶凝胶法制备的 Cu-ZnO/Al, O, 催化剂应 用于  $CO_2/H_2$  为原料的甲醇合成研究, 250  $^{\circ}$   $^{\circ}$  、

收稿日期: 2015-02-12; 修回日期: 2015-04-02.

作者简介: 杨光(1989-),男,硕士生,541027636@ qq. com.

\* 通讯联系人, Tel: 028-85250005, E-mail: chentongw@ sina. com.

3 MPa 条件下甲醇选择性超过 60%,连续反应下甲醇时空收率最高达 333 mg/(g·h).

我们系统研究了  $CO/CO_2/H_2$  为原料的 Cu 系催化剂 Cu-ZnO、Cu-MgO 和 Cu- $MnO_x$  等的低温液相甲醇合成性能,发现 Cu- $MnO_x$  显示出较好的催化性能 [18]. Cu- $MnO_x$  是合成气制甲酸甲酯的良好催化剂 [19],而甲酸酯是低温液相甲醇合成的中间产物. 因此,我们对 Cu- $MnO_x$  催化体系进行了深入研究,由 Cu- $MnO_x$  、 $K_2CO_3$  和乙醇构成铜系催化剂体系,以  $CO/CO_2/H_2$  为原料,在 170  $^{\circ}$  、 $^{\circ}$  5 MPa 条件下合成甲醇,系统考察了制备条件对 Cu- $MnO_x$  结构及催化性能的影响,优化条件下碳转化率可达 71.8%,甲醇选择性 55.9%,同时生成乙醇等碳链增长产物,为低温液相  $C_{2+}$  低碳醇的合成提供参考.

## 1 实验部分

#### 1.1 催化剂的制备

Cu-MnO<sub>x</sub> 催化剂采用并流共沉淀法制备,将总浓度为1 mol/L 一定铜锰摩尔比的硝酸铜和硝酸锰混合水溶液,与浓度为1.5 mol/L 的碳酸钠水溶液同时滴入持续搅拌的去离子水中,温度 55 ℃,滴定过程中保持沉淀 pH 值分别为7、8、9. 沉淀结束后于55 ℃陈化2 h 后趁热过滤,110 ℃干燥后于350 ℃煅烧3 h 即得到氧化态催化剂备用. 催化剂活性评价前均在 10% H<sub>2</sub>-90% N<sub>2</sub> 气氛下于 250 ℃还原 7 h.

#### 1.2 催化剂的活性评价

催化剂的活性评价均在 GS 型磁力驱动高压反应釜中进行. 3.0~g 氧化态催化剂经还原后加入装有 80~mL 乙醇溶剂与 0.4~g  $K_2CO_3$  的反应釜中,通入原料气(摩尔比  $H_2/CO/CO_2=65/33/2$ ) 后密封反应釜,在 170~C~,5~MPa,搅拌速率 500~r/min 条件下进行活性评价. 反应结束,反应釜经冷却后气相与液相产物由 GC-MS 定性,气相色谱定量. 液相产物采用 FID 检测器,HP-5 毛细管柱,内标法定量,内标物为正丙醇. 气相产物采用 TCD 检测器,TDX-01 柱,外标法定量.

#### 1.3 催化剂的表征

X 射线衍射(XRD)采用国产丹东浩元 DX-2800 X 射线衍射仪,辐射源 Cu  $K_{\alpha}(\lambda=0.154056\ nm)$ ,管电压 40 kV,管电流 40 mA,石墨单色滤光片,扫描范围  $10^{\circ}\sim80^{\circ}$ ,步长  $0.03^{\circ}$ ,扫描速度  $0.2^{\circ}/S$ .

程序升温还原(H2-TPR)采用天津先权 TP-

5080 多功能吸附仪,粉末状催化剂经压片后筛至粒径 0.45 ~ 0.28 mm 备用. 催化剂用量 30 mg,先通  $N_2$  (27 mL/min)于室温吹扫 10 min,切换到混合气(30 mL/min,10%  $H_2$ -90%  $N_2$ ),待系统稳定后,以 10  $^{\circ}$  · min  $^{-1}$  升温至 600  $^{\circ}$  、TCD 检测 H,消耗情况.

CO 程序升温吸附-脱附(CO-TPD)采用天津先权 TP-5080 多功能吸附仪,粉末状催化剂经压片后筛至粒径  $0.45 \sim 0.28$  mm 备用.催化剂用量 200 mg,先通 He(20 mL/min)于室温吹扫 10 min,切换成 H<sub>2</sub>(20 mL/min)于 350 ℃还原 1 h,再切换成 He于 350 ℃吹扫 1 h 后降温至 50 ℃,切换成 CO 在 50 ℃恒温吸附至饱和,再切换至 He 吹扫至基线平稳后,以 10 ℃/min 升至 700 ℃脱附,TCD 检测 CO 脱附情况.

## 2 结果与讨论

### 2.1 沉淀 pH 对 Cu-MnO<sub>x</sub> 催化性能影响

不同沉淀 pH 催化剂低温液相甲醇合成性能如表 1 所示. 低温液相甲醇合成反应分两步<sup>[20-22]</sup>,首先 CO 与乙醇羰化生成甲酸乙酯,甲酸乙酯再进一步氢解生成甲醇,甲酸乙酯是低温液相合成甲醇的中间产物. 如表 1 所示,不同沉淀 pH 制备 Cu-MnO<sub>x</sub> 上产物相同,除甲醇、甲酸乙酯外,均生成了碳链增长产物乙酸乙酯. 当沉淀 pH 值从 7 升至 9,碳转化率、甲醇选择性和乙酸乙酯选择性都逐渐降低,甲酸乙酯的选择性逐渐升高,pH 值为 7 制备的Cu-MnO<sub>x</sub> 羰化和加氢活性都最好,碳转率 62. 4%,甲醇选择性 53.8%. 乙酸乙酯选择性随着 pH 的升高而逐渐降低,说明沉淀 pH 为 7 利于 Cu-MnO<sub>x</sub> 对CO 的解离吸附,增长碳链. 综合碳转率、甲醇选择性、乙酸乙酯选择性等结果,适宜的沉淀 pH 值选为 7.

表 1 沉淀	nH 对	Cu-MnO	催化性能的影响

Table 1	Catalvic	performance of	Cu-MnO	prepared by	co-precipitatio	n with	different	На

рН	Total conv.	Selectivity/%			
	/%	Methanol	Ethyl formate	Ethyl acetate	
9	50.9	32.4	8.6	15.7	
8	55.6	46.2	7.2	18.2	
7	62.4	53.8	3.4	25.8	

Reaction conditions: Catalyst 3 g, Ethanol 80 mL, K<sub>2</sub>CO<sub>3</sub> 0.4 g, T=170 °C, P=5 MPa, t=10 h

表1中数据显示,产物的选择性之和未达到 100%, 因此, 采用 GC-MS 对产物进行定性全分析. 产物中除了乙醇、甲醇、甲酸乙酯及原料CO、CO,、 H2以外,还存在微量的丁醇和乙酸乙酯,为碳链增 长产物, 说明 CO 发生了解离吸附, 未检测到其他 副产物. 推测乙酸乙酯可进一步加氢生成乙醇, 采 用沉淀 pH 值为 7、铜锰摩尔比为 1, 在 350 ℃煅烧 的 Cu-MnO<sub>x</sub> 催化剂进行了验证实验: ①在相同条件 下进行乙酸乙酯加氢反应,用乙酸乙酯代替溶剂乙 醇与原料气反应,发现生成了大量乙醇,原料气中 H,转化率达80%,说明乙酸乙酯在该条件下较易 加氢生成乙醇,乙酸乙酯是合成乙醇的中间产物. ②用甲醇代替乙醇作为溶剂在相同条件下反应,产 物为乙醇、乙酸甲酯和甲酸甲酯,乙醇收率10%, 生成的甲醇无法定量. 用异丁醇代替乙醇作为溶剂 反应,产物为甲醇、乙醇、乙酸异丁酯、甲酸异丁 酯和异丁酸异丁酯,其中乙醇收率 4.6%.说明该 Cu-MnO<sub>x</sub> 催化体系确可以生成乙醇, 乙酸甲酯/乙 酸异丁酯为生成乙醇的中间产物. 本研究中以乙醇 为溶剂,新生成的乙醇量相对加入的乙醇溶剂很少 无法定量. 可以推测表1中选择性差异来自于未能 定量的乙醇. 本文通过碳转化率, 甲醇选择性, 及 碳链增长产物乙酸乙酯的选择性综合评估催化 性能.

在合成气低温液相甲醇合成中,发现有碳链增长产物生成尚属首次. 在相关低温液相甲醇合成研究中[5-9],通常甲醇选择性超过 90%,均未见碳链增长产物的生成. 与甲醇相比,乙醇等  $C_{2+}$ 低碳醇具有更高附加值,是优良的清洁汽油添加剂,也是液体燃料和代油品[23]. 目前  $C_{2+}$ 低碳醇的合成研究多采用固定床,在高温高压条件下进行反应,单程碳转化率低且副产物烷烃较多.  $Cu-MnO_x$  体系催化

剂可在低温液相条件下生成碳链增长产物,说明本研究制备的 $Cu-MnO_x$ 催化剂具有解离吸附能力,对 $C_{2*}$ 低碳醇的合成有很好的参考价值.

图 1 为不同沉淀 pH 的  $Cu-MnO_x$  的 XRD 谱, 均 检测到 CuO 和  $MnCO_3$  的特征衍射峰. 随着 pH 值

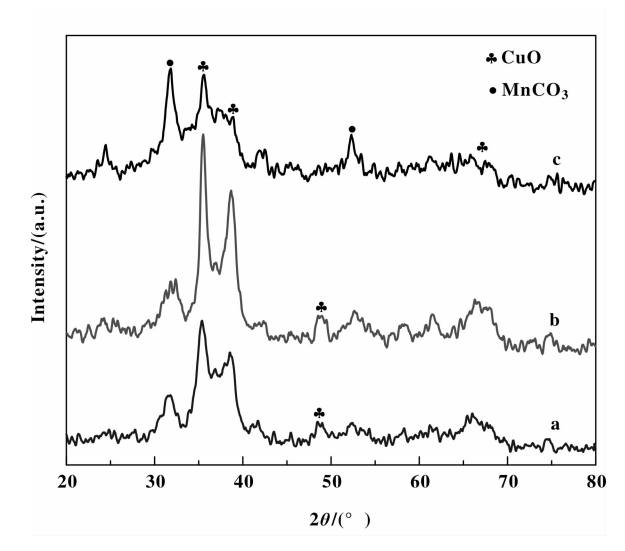


图 1 不同沉淀 pH 制备的 Cu-MnO<sub>x</sub> 催化剂的 XRD 图谱 Fig. 1 XRD patterns of Cu-MnO<sub>x</sub> catalysts prepared by co-precipitation with different pH a. pH=7; b. pH=8; c. pH=9

从7升至9, MnCO<sub>3</sub> 衍射峰逐渐增强, CuO 衍射峰 先增强后减弱, 沉淀 pH 值为7 时, CuO 的衍射峰 较弥散, CuO 在催化剂中分散性较好, 利于铜锰组 分间的相互作用, 提高催化剂活性<sup>[24]</sup>. pH 值为8 时 CuO 的衍射峰变尖锐, 说明 CuO 晶化程度提高, 不利于铜锰间的相互作用. 沉淀 pH 值为9 时 MnCO<sub>3</sub> 的衍射峰明显强于沉淀 pH 值为7 和8 时, 而且 CuO 的衍射峰最弥散, 说明 MnCO<sub>3</sub> 显著提高 了催化剂中 CuO 的分散. 而催化剂中 MnCO<sub>3</sub> 组分 较多,也说明催化剂前驱体中  $MnCO_3$  分解不完全,  $MnO_x$  物种相对较少,铜锰组分间的相互作用受到抑制,催化剂活性降低.

图 2 为不同沉淀 pH 的  $Cu-MnO_x$  样品的  $H_2$ -TPR 谱, 均出现两个还原峰, 低温还原峰(192 ~ 213  $^{\circ}$ C) 对应未与  $MnO_x$  作用的体相 CuO 的还原,

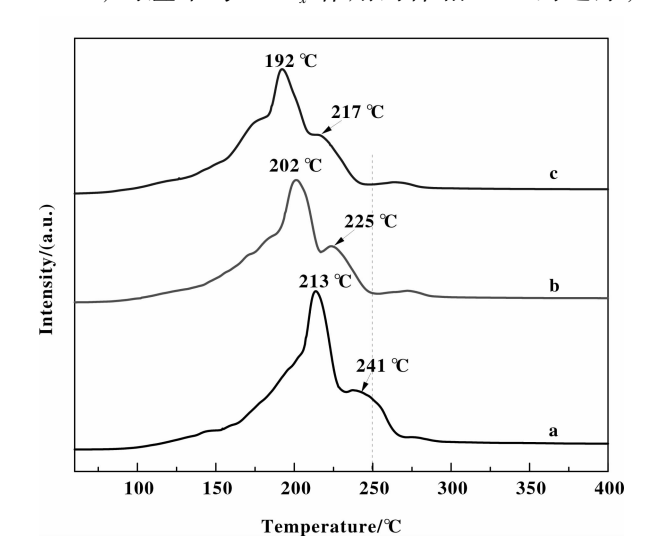


图 2 不同沉淀 pH 制备的 Cu-MnO<sub>x</sub> 催化剂的 H<sub>2</sub>-TPR 谱 Fig. 2 H<sub>2</sub>-TPR profiles of Cu-MnO<sub>x</sub> prepared by co-precipitation with different pH a. pH=7; b. pH=8; c. pH=9

高温还原峰(217~241 °C)对应催化剂中与  $MnO_x$ 相互作用的 CuO 的还原  $[^{25-26]}$ . 随着沉淀 pH 值从 7升到 9,低温和高温还原峰均逐渐向低温方向移动,且低温和高温还原峰峰面积均减小,说明可还原物种减少,铜锰间相互作用减弱,pH 值为 7 的样品铜锰间相互作用最强,这与 XRD 表征结果一致. 研究表明  $Cu^0$  与  $Cu^+$ 共同构成合成气制甲醇的活性中心,提高  $Cu^+/Cu^0$  比例可以提高催化剂活性  $[^{13-14]}$ . 由图 2 中样品还原峰位置可知还原难易程度从难到易依次为 pH 7> pH 8> pH 9,同时 pH 值为 7 时样品的低温和高温还原峰面积最大,可还原物种最多,因此推测 pH 值为 7 时样品经 250 °C 还原后  $Cu^+$ 相对较多, $Cu^+/Cu^0$  较高,这些均有利于提高  $Cu^-MnO_x$  催化剂的甲醇合成性能.

图 3 为不同沉淀 pH 的 Cu-MnO<sub>x</sub> 样品的 CO-TPD 谱. 脱附峰面积反映样品对 CO 的吸附量,而脱附峰温度反应样品对 CO 的吸附强度<sup>[27-29]</sup>. 所有样品在低温(184~204  $^{\circ}$ C)和高温(585~605  $^{\circ}$ C)各出现一个 CO 脱附峰,低温脱附峰对应弱化学吸附

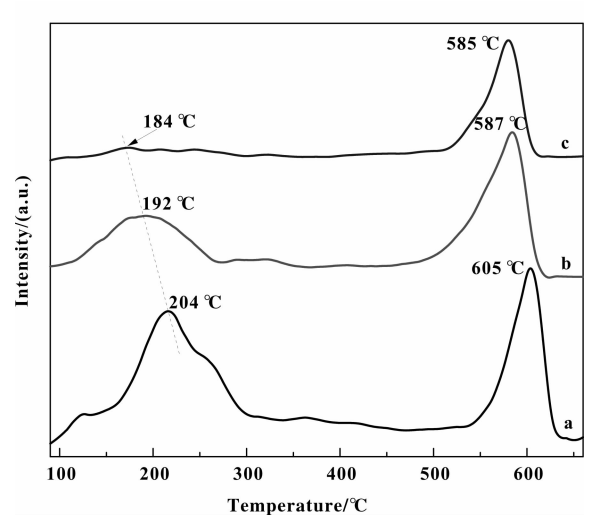


图 3 不同沉淀 pH 制备的 Cu-MnO<sub>x</sub> 催化剂的 CO-TPD 谱 Fig. 3 CO-TPD profiles of Cu-MnO<sub>x</sub> prepared by co-precipitation with different pH a. pH=7; b. pH=8; c. pH=9

的 CO, 高温脱附峰对应强化学吸附的 CO, 随着沉淀 pH 值从 7 升至 9, 低温和高温 CO 脱附峰面积均减小,到 pH 值为 9 低温脱附峰接近消失,说明样品对 CO 吸附量显著减小;随沉淀 pH 值从 7 升至 9, 低温和高温 CO 脱附峰峰温均向低温方向移动,说明样品对 CO 吸附强度下降. 沉淀 pH 值为 7 时样品的低温及高温 CO 脱附峰面积最大、峰温最高,说明其对 CO 的吸附能力相对较强,这有利于 CO 分子在催化剂表面吸附与转化生成甲醇,也有利于 CO 解离吸附增长碳链.

#### 2.2 铜锰摩尔比对 $Cu-MnO_x$ 催化性能影响

在沉淀 pH 值为 7 制备了不同铜锰摩尔比的  $Cu-MnO_x$  催化剂,350 ℃煅烧,不同铜锰摩尔比  $Cu-MnO_x$  催化性能如表 2 所示. 当催化剂中只有 CuO 组分时,活性极低,碳转化率仅 7.2%,产物为甲酸乙酯,没有甲醇生成,说明单独的 CuO 没有加氢活性;当催化剂中只有  $MnO_x$  时,碳转率为 25.1%,产物为甲酸乙酯及少量乙酸乙酯,无甲醇生成,说明单独的  $MnO_x$  也没有加氢活性,但能促进中间产物甲酸乙酯的生成,还能使 CO 发生部分解离吸附,生成碳链增长产物乙酸乙酯;铜锰双组分存在时,产物中均有甲醇生成,且甲酸乙酯选择性下降,说明  $Cu-MnO_x$  具有加氢活性,其加氢活性来源于铜锰组分间的相互作用。此外, $Cu-MnO_x$  上的乙酸乙酯选择性也高于单独的  $MnO_x$ ,说明铜锰组分间的相

互作用还可增加 CO 的解离吸附.

表2数据显示,随着铜锰摩尔比的降低,碳转化率逐渐升高;而甲醇选择性则随着铜锰摩尔比的降低,先升高后下降,当铜锰摩比为1:1时甲醇选择性最高.中间产物甲酸乙酯的选择性随着铜锰摩尔比的降低逐渐下降,说明催化剂中锰含量的增加利于甲酸乙酯的氢解.乙酸乙酯的选择性随着铜锰

摩尔比的降低而上升,说明 Mn 含量的增加有利于乙酸乙酯的生成,归于 Mn 对 CO 的强吸附使其发生解离,增长碳链<sup>[23-24]</sup>.如从碳链增长产物的生成考虑,铜锰摩尔比为0.6:1时最好,乙酸乙酯选择性高达34.6%.而从甲醇合成考虑,适宜的铜锰摩尔比为1:1,此时碳转率为62.4%,甲醇选择性为53.8%.

表 2 铜锰摩尔比对 Cu-MnO, 催化性能的影响

Table 2 Effect of the molar ration of Cu to Mn on the catalytic performance of Cu-MnO<sub>x</sub>

Ratio of Cu to	Total conv.	Selectivity/%			
Mn/(mol/mol)	/%	Methanol	Ethyl formate	Ethyl acetate	
Cu	7.2	0	94.4	0	
1:0.6	51.2	41.2	9.8	7.8	
1:0.8	52.3	42.6	8.6	11.5	
1:1	62.4	53.8	3.4	25.8	
0.8:1	63.1	46.8	2.7	31.4	
0.6:1	67.1	38.5	2.2	34.6	
$\mathrm{MnO}_{x}$	25.1	0.0	88.8	3.2	

Reaction conditions: Catalyst 3 g, Ethanol 80 mL, K<sub>2</sub>CO<sub>3</sub> 0.4 g, T=170 °C, P=5 MPa, t = 10 h

#### 2.3 煅烧温度对 Cu-MnOx 催化性能影响

在沉淀 pH 值为 7 下制备了铜锰摩尔比为 1:1 的  $Cu-MnO_x$  催化剂,不同温度下煅烧,催化性能如表 3 所示. 随着煅烧温度的升高, $Cu-MnO_x$  上碳转化率和甲醇选择性先增大后减小,450 C 煅烧  $Cu-MnO_x$  甲醇合成性能最好. 甲酸乙酯的选择性随煅烧温度升高先减小后增加,在450 C 煅烧时甲酸乙酯选择性最低,也显示450 C 煅烧  $Cu-MnO_x$  表现出最优的加氢活性,更多的甲酸乙酯中间体加氢生

成甲醇. 乙酸乙酯的选择性随煅烧温度的升高逐渐减小,450 ℃煅烧的  $Cu-MnO_x$  乙酸乙酯选择性略有下降,但碳转化率明显提高,故乙酸乙酯收率最高,说明在 450 ℃煅烧的  $Cu-MnO_x$  对 CO 的解离吸附能力相对较强,生成了更多碳链增长产物. 综合碳转率、甲醇和乙酸乙酯选择性等结果,适宜的煅烧温度选 450 ℃,此时  $Cu-MnO_x$  催化剂碳转化率 71.8%,甲醇选择性 55.9%,乙酸乙酯选择性 24.0%.

表 3 煅烧温度对 Cu-MnOx 催化剂性能影响

Table 3 Effects of calcination temperatrue on the catalytic performance of Cu-MnO<sub>x</sub>

Calcination	Total conv.	Selectivity/%			
$temperature/^{\circ}\!$	/%	Methanol	Ethyl formate	Ethyl acetate	
350	62.4	53.8	3.4	25.8	
450	71.8	55.9	2.2	24.0	
550	70.4	51.9	3.3	20.6	
650	55.8	54.3	6.5	19.4	

Reaction conditions: Catalyst 3 g, Ethanol 80 mL, K<sub>2</sub>CO<sub>3</sub> 0.4 g, T=170 °C, P=5 MPa, t =10 h

图 4 为不同温度煅烧 Cu-MnO<sub>x</sub> 样品的 XRD 谱,均检测到 CuO 的特征衍射峰. 随煅烧温度从

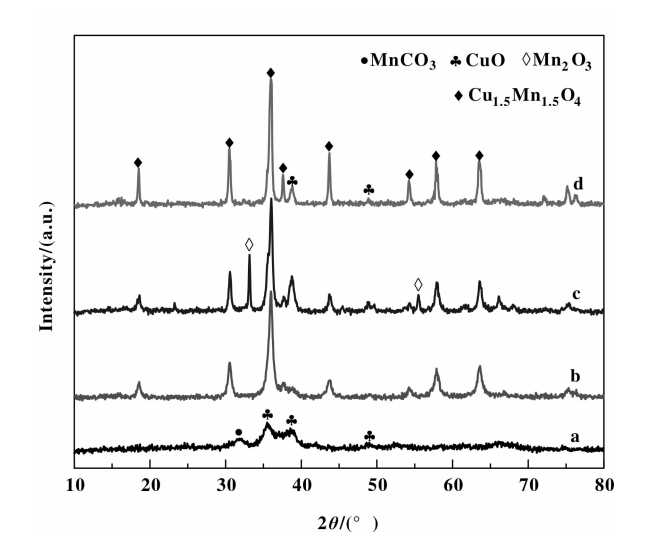


图 4 不同煅烧温度下制备 Cu-MnO<sub>x</sub> 催化剂的 XRD 图谱 Fig. 4 XRD patterns of Cu-MnO<sub>x</sub> with different calcination temperature a. 350 ℃; b. 450 ℃; c. 550 ℃; d. 650 ℃

350 ℃升至 650 ℃, CuO 的特征峰逐渐尖锐, 350 ℃时最为弥散,主要因为未完全分解的 MnCO,作 为载体提高了 CuO 的分散度. 350 ℃煅烧的样品中 还检测到 MnCO、的衍射峰, 但无 MnO。和铜锰复合 氧化物晶相生成,说明350℃煅烧的Cu-MnO。催化 剂中铜锰复合氧化物以无定型态存在[24,30]. 当煅 烧温度达 450 ℃时样品未检测到 MnCO、衍射峰, 表明前驱体已完全分解;同时出现了 Cu, 5Mn, 5O4 晶相,说明铜锰间相互作用力显著提高, Cu<sub>1.5</sub>Mn<sub>1.5</sub>O<sub>4</sub> 晶相可促进中间产物甲酸乙酯的生 成<sup>[19]</sup>. 煅烧温度为 550 ℃时出现 Mn<sub>2</sub>O<sub>3</sub> 晶相, 同 时, CuO 晶化程度提高, 特征峰变尖锐. 当继续提 至 650 ℃时, Mn<sub>2</sub>O<sub>3</sub> 特征峰消失, CuO 的的特征衍 射峰趋于弥散,可能由于Cu, Mn, O4的晶相较完 整,可作载体促进 CuO 和 Mn<sub>2</sub>O<sub>3</sub> 的分散,但  $Cu_1, Mn_1, O_4$  晶化程度的提高会使活性位点减少.

450 ℃煅烧的  $Cu-MnO_x$  未检测到  $Mn_2O_3$  晶相,CuO 衍射峰较弥散,有利于铜锰组分间相互作用;同时,样品存在  $Cu_{1.5}Mn_{1.5}O_4$  晶相,这些均有利于提高  $Cu-MnO_x$  催化剂甲醇合成性能.  $MnCO_3$  分解完全有利于催化性能的提高,该结果与 pH 影响的结论一致.

图 5 为不同温度煅烧  $Cu-MnO_x$  的  $H_2$ -TPR 谱.

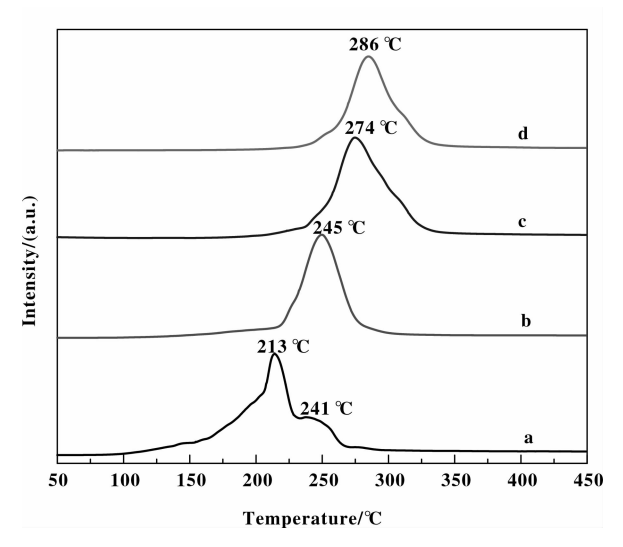


图 5 不同煅烧温度下制备 Cu-MnO<sub>x</sub> 催化剂的 H<sub>2</sub>-TPR 谱 Fig. 5 H<sub>2</sub>-TPR profiles of Cu-MnO<sub>x</sub> catalysts with different calcination temperature a. 350 ℃; b. 450 ℃; c. 550 ℃; d. 650 ℃

随着煅烧温度升高还原峰向高温方向移动. 350  $^{\circ}$  煅烧样品有两个还原峰,低温(213  $^{\circ}$ )还原峰对应催化剂中未与  $^{\circ}$  MnO<sub>x</sub> 作用的体相 CuO 的还原,而高温(241  $^{\circ}$ )还原峰对应与  $^{\circ}$  MnO<sub>x</sub> 相互作用的 CuO 的还原<sup>[30-31]</sup>. 450  $^{\circ}$  以上煅烧的样品均只有一个还原峰,峰温均高于 350  $^{\circ}$  样品的高温还原峰,且随煅烧温度升高峰温逐渐向高温移动,显示铜锰之间的相互作用增强,这与 XRD 结果一致,在 450  $^{\circ}$  以上出现  $^{\circ}$  Cu<sub>1.5</sub> Mn<sub>1.5</sub> O<sub>4</sub> 晶相,铜锰间相互作用增强.

催化剂  $H_2$  预还原温度为 250 ℃. 从图 5 上显示, 350 ℃的样品在低温 213 ℃可还原物种较多, 在 250 ℃还原条件下, Cu 物种易被过度还原生成较多  $Cu^0$ ; 而 550 和 650 ℃煅烧样品的还原温度分别为 274、286 ℃, 在 250 ℃还原条件下,可能导致还原程度不够. 450 ℃ 煅烧样品的还原温度为245 ℃,且还原峰面积较大,在 250 ℃还原条件下,利于生成较多  $Cu^+$ ,且有较多的可还原物种,有利于甲醇合成的氢解过程 $[^{13-14}]$ .

图 6 为不同温度煅烧 Cu-MnO<sub>x</sub> 的 CO-TPD 谱, 所有样品在低温(204~211 ℃)和高温(594~603 ℃)各出现一个 CO 脱附峰,说明催化剂表面均存 在两种吸附强度不同的 CO 吸附中心.随着煅烧温 度升高,高温、低温脱附峰的峰面积均先增大后减 小,450 ℃煅烧样品的脱附峰面积最大,对 CO 的 化学吸附量最大.随着煅烧温度升高,低温脱附峰

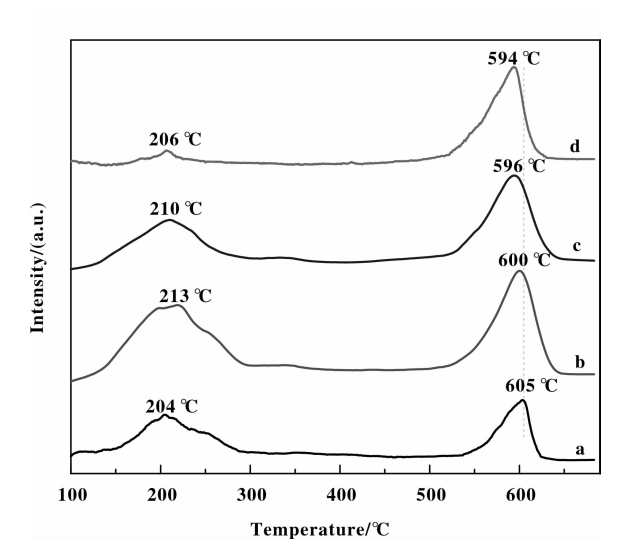


图 6 不同煅烧温度下制备 Cu-MnO<sub>x</sub> 催化剂的 CO-TPD 谱 Fig. 6 CO-TPD profiles of Cu-MnO<sub>x</sub> catalysts with different calcination temperature a. 350 ℃; b. 450 ℃; c. 550 ℃; d. 650 ℃

温也先升高后降低,在 450 ℃低温脱附峰峰温最高;高温脱附峰温随煅烧温度升高小幅下降,450 ℃煅烧样品的高温脱附峰温略有下降,但其峰面积明显高于其他样品. 因此可知,450 ℃煅烧的  $Cu-MnO_x$  具有较好的 CO 吸附能力,利于 CO 在催化剂表面的吸附与转化,提高甲醇合成性能,同时,较强的 CO 吸附能力也有利于 CO 在催化剂上解离吸附,生成碳链增长产物.

# 3 结论

采用并流共沉淀法制备了 $Cu-MnO_x$ 催化剂,具有较好的低温液相甲醇合成性能,同时,CO在 $Cu-MnO_x$ 上有较好的解离吸附能力,可生成乙醇等碳链增长产物.

研究制备条件对  $Cu-MnO_x$  结构及催化性能的影响,XRD、 $H_2$ -TPR 和 CO-TPD 表征显示,制备过程中的沉淀 pH、煅烧温度等影响  $Cu-MnO_x$  中 CuO 的分散性和铜锰组分间的相互作用,从而影响催化剂的  $H_2$  还原性能和 CO 吸附能力,改变催化剂性能.  $Cu-MnO_x$  上甲醇合成的催化剂最优制备条件为 Cu/Mn 摩尔比为 1、沉淀 pH 为 7、煅烧温度为 450 °C. 该条件下制备的催化剂铜锰相互作用强,CuO 分散好,形成的  $Cu_{1.5}Mn_{1.5}O_4$  晶相有利于中间产物甲酸酯的生成;对 CO 有较强的化学吸附能力,利于 CO 在催化剂表面吸附转化;并且其  $H_2$  还原

温度适中,利于在预还原条件下生成较多  $Cu^+$ ,提高甲醇合成性能. 优化条件下制备的  $Cu\text{-MnO}_x$  碳转化率为 71.8%,甲醇选择性为 55.9%,乙酸乙酯选择性为 24.0%.

与 CuO 相互作用的  $MnO_x$  是增长碳链的主要活性物质,提高 Mn 含量可以促进乙酸乙酯的生成,当铜锰摩尔比为 0.6:1 时,乙酸乙酯选择性可达 34.6%,显示该  $Cu-MnO_x$  催化剂体系对  $C_{2+}$  低碳醇的合成有很好的参考价值.

#### 参考文献:

- [1] a. Li Chen-zhi (李臣芝), Yang Guang (杨 光), Chen Tong(陈 彤), et al. Progress in catalysts for methanol sygthesis at low-temperature in liquid phase[J]. Nat Gas Chem Ind (天然气化工), 2013, 38(6): 78-83.
  - b. Chen H P, Liang Y H, Zheng X M, et al. Direct synthesis of dimethyl carbonate from methanol and carbon dioxide over Fe-Zr-O catalyst[J]. *J Mol Catal (China)* (分子催化), 2013, **27**(6): 556-565.
  - c. Zhang Y J, Deng J L, Zhang S J, *et al.* Investigation on CuO-ZnO-Al<sub>2</sub>O<sub>3</sub>/HZSM-5 catalysts for synthesis of dimethyl ether from CO<sub>2</sub> hydrogenation[J]. *J Mol Catal* (*China*)(分子催化), 2013, **27**(3): 235-241.
  - d. Wang Y, Liao W P, Suo Z H. Methanol electrocatalytic oxidation performance of carbon black-supported Pe-Fe bimetallic catalyst [J]. *J Mol Catal (China)*(分子催火), 2013, **27**(4): 356-361.
  - e. Xu H M, He C L, Xiong W J, et al. Preparation of (R)-o-chlorom andelic acid via dynamic kinetic resolution of o-chloromandelonitrile by whole cells of alealigenes faecalis CGMCC1.2006[J]. J Mol Catal (China)(分子催化), 2014, 28(2): 174-181.
- [2] Chu Wei (储 伟), Wu Yu-tang (吴玉塘), Luo Shizhong (罗仕忠), et al. Investigation on the catalysts and reaction process for the methanol synthesis at lower-temperature in liquid phase[J]. Pro Chem(China)(化学进展), 2001, 13(2): 128-134.
- [3] Devinder Mahajan, Richard S. Sapienza, William A. Slegeir, et al. US[P]. 4935395, 1990.
- [4] Chu Wei, Zhang Tao, He Chuan-hua, et al. Low-temperature methanol synthesis (LTMS) in liquid phase on novel copper-based catalysts [J]. Catal Lett, 2002, 79 (1/4): 129-132.
- [5] Hu Bao-shan, Yamaguchi Y, Fujimoto K. Low temperature methanol synthesis in alcohol solvent over copperbased catalyst[J]. Catal Comm, 2009, 10(12): 1620-

- 1624.
- [6] Hu Bao-shan, Fujimoto K. Promoting behaviors of alkali compounds in low temperature methanol synthesis over copper-based catalyst [J]. Appl Catal B, 2010, 95 (3/ 4); 208-216.
- [7] Hu Bao-shan, Fujimoto K. Low temperature methanol synthesis in slurry phase with a hybrid copper-formate system [J]. *Catal Lett*, 2009, **129**(3/4); 416-421.
- [8] Hu Bao-shan, Fujimoto K. High-performance Cu/MgO-Na catalyst for methanol synthesis via ethyl formate [J]. Appl Catal A, 2008, 346 (1/2): 174-178.
- [9] Tsubaki N, Ito M, Fujimoto K. A new method of low-temperature methanol synthesis [J]. J Catal, 2001, 197 (1): 224-227.
- [ 10 ] Zhao Tian-sheng , Zhang Kun , Chen Xu-ri , et al. A novel low-temperature methanol synthesis method from  ${\rm CO/H_2/CO_2}$  based on the synergistic effect between solid catalyst and homogeneous catalyst [ J ] . Catal Today , 2010 , 149 (1/2) : 98–104.
- [11] Tang Xiao-bo, Tsubaki N, Xie Hong-juan, et al. Effect of modifiers on the performance of Cu-ZnO-based catalysts for low-temperature methanol synthesis [J]. J Fuel Chem Tec, 2014, 42(6): 704-709.
- [12] Reubroycharoen P, Vitidsant T, Yoneyama Y, et al. Development of a new low-temperature methanol synthesis process [J]. Catal Today, 2004, 89(4): 447-454.
- [13] Fang Wang, Yingwei Liu, Yuhua Gan, et al. Study on the modification of Cu-based catalysts with cupric silicate for methanol synthesis from synthesis gas [J]. Fuel Process Technol, 2013, 110: 190-196.
- [14] JonesS D, Neal L M, Helena E, et al. Steam reforming of methanol using Cu-ZnO catalysts supported on nanoparticle alumina [J]. Appl Catal B, 2008, 84 (3/4): 631-642.
- [15] Shi Lei, Tao Kai, Yang Rui-qin, et al. Study on the preparation of Cu/ZnO catalyst by sol-gel auto-combustion method and its application for low-temperature methanol synthesis[J]. Appl Catal A, 2011, 401(1/2): 46-55.
- [16] Shi Lei, Tan Yi-sheng, Tsubaki N. A solid-State combustion method towards metallic Cu-ZnO catalyst without further reduction and its application to low-temperature methanol synthesis[J]. Chem Cat Chem, 2012, 4(6): 863-871.
- [17] Kong Xiu-qin(孔秀琴), Tang Xing-jiang(唐兴江), Xu Shan(许珊), *et al.* Preparation of CuO-ZnO/Al<sub>2</sub>O<sub>3</sub> by sol-gel auto-combustion method and its catalystic property

- for methanol synthesis from CO<sub>2</sub> hydrogenation [J]. *J Mol Catal* (China) (分子催化), 2013, **27**(2):159-165.
- [18] Li Chen-zhi(李臣芝), Chen Yong(陈勇), Zhang Hua (张华), et al. Low-temperature methanol synthesis on Cu-based catalysts[J]. Chem Res Appl (化学研究与应 用), 2013, 25(8): 1155-1160.
- [19] Yang Ying-chun (杨迎春), Ye Zhi-xiang (叶芝祥), Xie Hong-ping (谢洪平), et al. Study on the active component and center of Cu-Mn catalyst for the synthesis of methyl formate [J]. J Sichuan Teacher Coll (四川师范学院学报), 2001, 22(02): 139-143.
- [20] Yang Rui-qin, Yu Xiao-cai, Zhang Yi, et al. A new method of low-temperature methanol synthesis on Cu/ ZnO/Al<sub>2</sub>O<sub>3</sub> catalysts from CO/CO<sub>2</sub>/H<sub>2</sub>[J]. Fuel, 2008, 87(4/5): 443-450.
- [21] Yang Rui-qin, Fu Yi-lu, Zhang Yi, et al. In situ DRIFT study of low-temperature methanol synthesis mechanism on Cu/ZnO catalysts from CO<sub>2</sub>-containing syngas using ethanol promoter[J]. J Catal, 2004, 228(1): 23-35.
- [22] Yang Rui-qin, Zhang Yi, Iwama Y, et al. Mechanistic study of a new low-temperature methanol synthesis on Cu/MgO catalysts [J]. Appl Catal, A, 2005, 288 (1/ 2): 126-133.
- [23] Li De-bao(李德宝), Ma Yu-gang(马玉刚), Qi Hui-jie (齐会杰), et al. Progress in synthesis of mixed alcohols from CO hydrogenation [J]. Pro Chem(China) (化学进展), 2004, 16(04): 584-592.
- [24] Zhao Ning(赵宁), Chen Xiao-ping(陈小平), Wei Wei(魏伟), et al. Effect of component of Cu/Mn/Ni/ZrO<sub>2</sub> catalyst for higher alcohols synthesis [J]. J Fuel Chem Tec(China)(燃料化学学报), 2001, **29**(S1): 146-149.
- [25] Robinson W R A M, Mol J C. Support effects in methanol synthesis over copper-containing catalysts [J]. Appl Catal, 1991, 76(1): 117-129.
- [26] Zhou RX, Yu T M, Jiang X Y, et al. Temperature-programmed reduction and temperature-programmed desorption studies of CuO/ZrO<sub>2</sub> catalysts [J]. Appl Surf Sci, 1999, 148(3/4); 263-270.
- [27] Shi Li-min(士丽敏), Chu Wei(储伟), Xu Hui-yuan (徐慧远), et al. Effect of Ce addition on the structure and properties of CuCo oxide catalyst [J]. Rare Met Mat Eng(China)(稀有金属材料与工程), 2009, 38(8): 1382-1385.
- [28] Shi Li-min(士丽敏), Chu Wei(储伟) and Deng Si-yu (邓思玉). Studies on higher alcohols from syngas over

- the La promoted CuCo catalysts [J]. J Fuel Chem Tec (China)(燃料化学学报), 2012, **40**(4): 436-440.
- [29] Chen Ching-Shiun, Cheng Wu-Hsun, Lin Shou-Shium. Study of reverse water gas shift reaction by TPD, TPR and CO<sub>2</sub> hydrogenation over potassium-promoted Cu/SiO<sub>2</sub> catalyst[J]. *Appl Catal*, A, 2003, **238**(1): 55-67.
- [30] Zhao Ning(赵宁), Yang Cheng(杨成), Wei Wei (魏伟), et al. Effect of calcination temperature on
- Cu/Mn/Ni/ZrO<sub>2</sub> catalyst for synthesis of higher alcohols [J]. *Chin J Catal* (催化学报), 2002, **23**(06): 571-574.
- [31] Wu Gui-sheng(吴贵升), Chen Xiao-ping(陈小平), Ren Jie(任杰), et al. Influence of calcination temperature on performance of Cu/MnO<sub>2</sub>/ZrO<sub>2</sub>[J]. J Fuel Chem Tec(China)(燃料化学学报), 1999, **27**(S1): 91-94.

# Effect of Preparation Conditions on Catalystic Performance of Cu-MnO, for Low-temperature Methanol Synthesis

YANG Guang<sup>1,2</sup>, CHEN Yong<sup>3</sup>, LI Chen-zhi<sup>1,2</sup>, CHEN Tong<sup>1\*</sup>, WANG Gong-ying<sup>1</sup> (1. Chengdu Institute of Organic Chemistry Chinese Academy of Sciences Chengdu 610041, China; 2. University of Chinese Academy of Sciences, Beijing 100049, China;

3. Department of National Defence Architectural Planning and Environmental Engineering,
Logistic Engineering University, Chongqing 401311, China)

Abstract: Cu-MnO<sub>x</sub> catalyst was prepared by co-precipitation method and was used for low-temperature methanol synthesis from syngas ( $CO/CO_2/H_2$ ). The effect of preparing conditions of Cu-MnO<sub>x</sub> catalyst on the structure and catalytic performance were studied by XRD, H<sub>2</sub>-TPR and CO-TPD. The results showed that the Cu/Mn molar ratio, the precipitation pH and the calcination temperature affected the CuO dispersion, the reducibility and the adsorption capacity of CO of Cu-MnO<sub>x</sub>. Using ethanol as solvent and K<sub>2</sub>CO<sub>3</sub> as additive at 170 °C and 5MPa, the highest carbon conversion of 71.8% along with a methanol selectivity of 55.9% was obtained over the Cu-MnO<sub>x</sub> with Cu/Mn molar ratio of 1 prepared at the pH value of 7 and the calcination temperature of 450 °C. For the Cu-MnO<sub>x</sub> prepared under the optimum preparation conditions, a strong intereaction between Cu and Mn, highly dispersed CuO, a strong adsorption capacity of CO and a suitable reduction temperature were obtained. Therefore, more Cu<sup>+</sup> would be attained on the catalyst reduced by H<sub>2</sub>, and Cu<sup>+</sup> was favourable for the low-temperature methanol synthesis. In addition, ethyl acetate was obtained over Cu-MnO<sub>x</sub>, which indicated that CO was dissociated on the catalyst and would provide a reference for higher alcohols synthesis.

**Key words**: CO/CO<sub>2</sub>/H<sub>2</sub>; low-temperature; methanol; Cu-MnO<sub>x</sub>; K<sub>2</sub>CO<sub>3</sub>